

Two Stages Sparse Representation-based Classifier and its Application for Cancer Classification

M. Miri¹, M. T. Sadeghi^{2*}, V. Abootalebi³

¹ M.Sc., Signal Processing Research Lab, Electrical and Computer Engineering Department, Yazd University, Yazd, Iran,
m.miri@stu.yazd.ac.ir

²* Assistant Professor, Signal processing Research Lab, Electrical and Computer Engineering Department, Yazd University, Yazd, Iran.

³ Assistant Professor, Signal processing Research Lab, Electrical and Computer Engineering Department, Yazd University, Yazd, Iran, abootalebi@yazd.ac.ir

Abstract

Successful outcomes of Sparse Representation-based Classifier (SRC) and Sparse Subspace Clustering (SSC) in many applications motivated us to combine these methods and propose a hierarchical classifier. The main idea behind the SRC and SSC algorithms is to represent a data using a sparse linear combination of elementary signals so that those elementary signals which are similar to the data contribute mainly in the representation. In this paper, the performance of a sparse representation based classifier is improved by pre-clustering of training samples using the SSC algorithm. A two-stage SRC is then designed using the resulting clusters. A test data is classified by first determining the most similar cluster. The data label is subsequently found using the second stage classifier. The performance of the proposed method is evaluated considering cancer classification problem using the 14-Tumors microarray dataset. Due to low number of data samples per each class and high dimensionality of the data, this is a challenging problem. Curse of dimensionality, overfitting of the classifier to the training data and computational complexity are the possible related problems. Our experimental results show that the proposed method outperforms some other state of the art classifiers.

Key words: Sparse Subspace Clustering, Microarray data, Cancer classification, Hierarchical classifier, Sparse Representation-based Classification, Sparse representation.

* Corresponding author

Address: Electrical and Computer Engineering Department, Yazd University, P.O.Box: 89195-741, Postal Code: 77141, Yazd, I.R. Iran

Tel: +98 351 8122389

Fax: +98 351 8200144

E-mail: m.sadeghi@yazd.ac.ir

طبقه‌بندی کننده دو مرحله‌ای مبتنی بر نمایش تنک و کاربرد آن در تشخیص سرطان

ملیحه میری^۱، محمد تقی صادقی^{۲*}، و حید ابوطالبی^۳

^۱دانشجوی کارشناسی ارشد، گروه مخابرات، دانشکده مهندسی برق و کامپیوتر، دانشگاه یزد، یزد، ایران m.miri@stu.yazd.ac.ir

^۲استادیار، گروه مخابرات، دانشکده مهندسی برق و کامپیوتر، دانشگاه یزد، یزد، ایران.

^۳استادیار، گروه مخابرات، دانشکده مهندسی برق و کامپیوتر، دانشگاه یزد، یزد، ایران abootalebi@yazd.ac.ir

چکیده

با توجه به نتایج موفقیت‌آمیز طبقه‌بندی کننده مبتنی بر نمایش تنک (SRC) و خوشبندی زیرفضای تنک (SSC) در کاربردهای مختلف، در این مقاله با ترکیب این دو روش، یک روش طبقه‌بندی سلسله مراتبی ارائه می‌شود. ایده اصلی در روش‌های طبقه‌بندی و خوشبندی مبتنی بر نمایش تنک، نمایش هر داده به صورت ترکیب خطی تنک از سایر داده‌ها است به گونه‌ای که داده‌های مشابه با داده مورد نظر در این ترکیب خطی بیشترین وزن را به خود اختصاص دهند. در روش پیشنهادی، به منظور دست‌یابی به صحت طبقه‌بندی بیشتر، ابتدا داده‌های آموزشی با استفاده از روش خوشبندی زیرفضای تنک بخش‌بندی می‌شوند. سپس با استفاده از شیوه بکار گرفته شده در طبقه‌بندی کننده مبتنی بر نمایش تنک، طبقه‌بندی کننده‌ای دو مرحله‌ای طراحی می‌شود. در مرحله اول، خوشبندی کننده مبتنی بر نمایش تنک، طبقه‌بندی کننده‌ای دو مرحله بعد طبقه مربوطه (برچسب داده) تعیین می‌شود. برای ارزیابی روش پیشنهادی از دادگان ریزآرایه Tumors-14 – که حاوی اطلاعات مربوط به ۱۴ نوع سرطان مختلف است – استفاده شده است. از جمله ویژگی‌های این دادگان تعداد زیاد بعد در مقابل تعداد کم نمونه در هر دسته است که عمل طبقه‌بندی آن‌ها را به مسائله‌ای چالش‌برانگیز تبدیل می‌کند. ابعاد زیاد داده‌ها نه تنها مشکلاتی از جمله نفرین ابعاد و بیش انطباق طبقه‌بندی کننده به داده‌های آموزشی را به دنبال دارد، بلکه باعث افزایش پیچیدگی محاسباتی شده؛ زمان لازم را برای اجرای الگوریتم‌ها افزایش می‌دهد. آزمایش‌های انجام شده بر این دادگان با استفاده از روش پیشنهادی نشان می‌دهد که در مقایسه با سایر روش‌های طبقه‌بندی، این روش به نتایج بهتری منجر می‌شود.

کلیدواژگان: خوشبندی زیرفضای تنک، دادگان ریزآرایه، طبقه‌بندی سرطان، طبقه‌بندی کننده سلسله مراتبی، طبقه‌بندی کننده مبتنی بر نمایش تنک، نمایش تنک.

*عهده‌دار مکاتبات

نشانی: یزد، صفائیه، چهارراه پژوهش، دانشکده مهندسی برق و کامپیوتر، کد پستی: ۷۷۱۴۱

تلفن: ۰۳۵۱-۸۱۲۲۳۸۹، دورنگار: ۰۳۵۱-۸۲۰۰۱۴۴، پیام نگار: m.sadeghi@yazd.ac.ir

۱- مقدمه

می‌کند، از پیچیدگی محاسباتی کمتری برخوردار است. همچنین این روش به مقداردهی اولیه نیاز ندارد و نسبت به نویز نیز مقاوم است^[۴].

در سال ۲۰۰۹، رایت^{۱۰} استفاده از نمایش تنک سیگنال‌ها در طبقه‌بندی را پیشنهاد کرد، این روش - که طبقه‌بندی مبتنی بر نمایش تنک (SRC)^{۱۱} نامیده می‌شود- به نتایج رضایت‌بخشی بویژه در سیستم‌های تشخیص چهره منجر شده است[۱۲]. ایده اصلی این روش آن است که هر تصویر چهره به صورت ترکیب خطی تنک از سایر تصاویر چهره قابل بیان است و بیشترین ضرایب این ترکیب خطی متعلق به تصاویری است که در دسته‌ای یکسان با تصویر ورودی قرار دارند؛ لذا با صفر کردن سایر ضرایب و تنها استفاده از این ضرایب بزرگتر می‌توان به بازسازی قابل قبولی از تصویر ورودی دست یافت. با استفاده از معیار فاصله اقلیدسی میزان شباهت تصویر بازسازی شده با کمک تصاویر دسته‌های مختلف، با تصویر ورودی تعیین می‌شود و برچسب دسته‌ای که کمترین خطای بازسازی را تولید کند، به تصویر ورودی تعلق می‌گیرد. پیشرفت‌های اخیر در زمینه زیست‌شناسی مولکولی و فناوری ریزآرایه^{۱۲}، امکان پایش سطح بیان^{۱۳} هزاران ژن (میزان فعل بودن ژن‌ها) را به صورت همزمان فراهم کرده است و مقادیر هنگفتی را از داده‌های ریزآرایه تولید کرده است. این داده‌ها در تشخیص و طبقه‌بندی انواع بافت‌های سرطانی نقش بهسازی دارند؛ اما مهمترین چالش در مورد این دادگان را می‌توان ابعاد بسیار بالای آنها در مقایسه با تعداد کم نمونه‌ها دانست که طراحی طبقه‌بندی کننده‌های مناسب را دچار مشکل می‌کند. اگرچه تاکنون تلاش‌های بسیاری با هدف یافتن طبقه‌بندی کننده‌های با صحت زیاد و پیچیدگی محاسباتی کم انجام شده است، بیشتر مطالعاتی که در این زمینه انجام شده توجه خود را به دادگانی با تعداد دسته‌های کم (دو یا سه نوع سرطان مختلف) معطوف کرده‌اند و از روش‌هایی مثل تحلیل جداکننده خطی (LDA)^{۱۴}، شبکه‌های عصبی، خوشبندی، نزدیک‌ترین همسایگی (NN)^{۱۵} و ماشین بردار پشتیبانی - استفاده کرده‌اند^[۱۳]. دادگان^{۱۶} (SVM)

در سال‌های اخیر شاهد توسعه روزافزون استفاده از مفاهیم نمونه‌برداری فشرده (CS)^۱ و نمایش تنک (SR)^۲ در کاربردهای مختلف پردازش سیگنال هستیم [۲،۱] و تحقیقات بسیاری در این زمینه شکل گرفته است. در بسیاری از کاربردهای شناسایی الگو و بینایی ماشین با داده‌هایی با ابعاد زیاد از قبیل تصاویر چهره و یا ریزآرایه‌ها سروکار داریم.

بعد زیاد داده‌ها نه تنها موجب افزایش حافظه مورد نیاز و پیچیدگی محاسباتی الگوریتم‌ها می‌شود، به دلیل اثر نویز و تعداد کم داده‌ها در مقایسه با تعداد ابعاد، موجب کاهش کارایی الگوریتم‌ها نیز می‌شود که از این موضوع به عنوان نفرین ابعاد^۳ یاد می‌شود^[۳]. داده‌های با ابعاد زیاد اغلب در زیرفضاهایی با بعد کمتر گستردۀ شده‌اند. روش‌های مختلف خوشبندی^۴ به عنوان ابزاری برای جداسازی داده‌های متناظر با هر یک از این زیرفضاهای به کار می‌روند.

اخیراً به استفاده از روش‌های مبتنی بر نمایش تنک در خوشبندی داده‌ها نیز توجه بسیار شده است^[۴،۵]. از بین تمام نمایش‌های ممکن برای یک داده بر حسب سایر داده‌ها، یک نمایش تنک متناظر با انتخاب تعداد کمی از داده‌ها از همان زیرفضای داده مربوطه است. چنین نمایشی با حل مسئله بهینه‌سازی تنک بدست می‌آید. روش‌های متداول خوشبندی از جمله روش‌های تکراری^۶، روش‌های جبری^۷، RANSAC^۸ و MPPCA^۹ دارای محدودیت‌هایی هستند که خوشبندی طیفی^{۱۰} دارای محدودیت‌هایی هستند که استفاده از آنها را در عمل با مشکل مواجه می‌کند. برخی از این روش‌ها نیاز به داشتن اطلاعات اولیه‌ای از جمله تعداد و بعد خوشبدها دارند. همچنین بار محاسباتی زیاد - که بصورت نمایی با تعداد و بعد خوشبدها افزایش می‌یابد- و عدم مقاومت نسبت به نویز و خطای مدل‌سازی از دیگر معایب این روش‌ها است^[۱۱]. در مقایسه با این روش‌ها، روش خوشبندی زیرفضای تنک (SSC)^{۱۲} که از حل معادلات بهینه‌سازی محدب^۹ برای یافتن نمایش‌های تنک استفاده

^۱Compressive Sensing

²Sparse Representation

^۳Mixture of Probabilistic Principal Component Analysis

⁶Curse of Dimensionality

^۴Sparse Subspace Clustering

⁷Random Sample Consensus

^{۱۲}Microarray

^{۱۰}Wright

^{۱۱}Convex Optimization

^{۱۶}Support Vector Machine

^{۱۳}Nearest Neighbor

^{۱۴}Linear Discriminant Analysis

^{۱۵}Clustering

^۷Spectral Clustering

می شود و در مرحله بعد با توجه به خوش تعيين شده، عمل طبقه‌بندي انجام شده؛ برچسب داده آزمایشي تعين می شود.
با توجه به اين که يكى از روش‌های متداول در دسته‌بندي انواع سرطان‌ها خوش‌بندي داده‌های مربوط به آنها است، انتظار می‌رود روش پيشنهادی - که در مرحله اول داده آزمون را خوش‌بندي و سپس آن را طبقه‌بندي می‌کند - به نتایج مناسبی در اين حوزه دست يابد. مقاييسه نتایج به دست آمده از روش معرفی شده با نتایج حاصل از تحقیقات قبلی نشان دهنده عملکرد قابل قبول سیستم پيشنهادی است.

ساختار اين مقاله به قرار زير است: در بخش ۲ مقدمه‌ای بر نمايش تنک بيان شده است، سپس به توضيح اجمالي طبقه‌بندي کتنده مبتنی بر نمايش تنک و خوش‌بندي زيرفضائي تنک پرداخته شده است. در بخش ۳ روش پيشنهادی و در بخش ۴ توضيح مختصري در مورد پايگاه داده استفاده شده و همچنين نتایج آزمایش‌های انجام شده آورده شده است. در نهايى در بخش ۵ جمع‌بندي و نتیجه‌گيری ارائه شده است.

۲- نمايش تنک (SR)

امروزه نمايش تنک به ابزاری قوى برای نمايش و فشرده‌سازی سیگنانال‌ها تبدیل شده است. بر اساس این نمايش می‌توان سیگنانال را بصورت ترکیب خطی تنک از داده‌های آموزشی تقریب زد^[۲]. در حالت کلی ترکیبی خطی از داده‌های آموزشی را می‌توان به صورت یک دستگاه معادلات خطی به شکل $\mathbf{y} = \mathbf{Ys}$ نشان داد. که در آن ماتریس $[\mathbf{Y}_c, \dots, \mathbf{Y}_1] = \mathbf{Y}$ - که از کنار هم قرار گرفتن تمام داده‌های آموزشی مربوط به c دسته تشکیل شده است - ماتریس دیکشنری نامیده شده و ستون‌های آن اتم نامیده می‌شوند. اگر در اين دستگاه تعداد معادلات از تعداد مجهولات کمتر باشد، (تعداد ستون‌های \mathbf{Y} بيشتر از تعداد سطرهای آن باشد)، دستگاه از نوع فرومغاین^[۲۲] بوده و دارای بی‌شمار جواب است. با اعمال شرط تنکی بر جواب حاصل از دستگاه فوق می‌توان به پاسخی يكتا دست يافت. از آنجا که نرم صفر يك بردار معرف تعداد مؤلفه‌های غير صفر آن است، کمينه‌سازی نرم صفر منجر به تحميل شرط تنکی بر بردار خواهد شد؛ بنابراین

كه در اين تحقیق بررسی شده‌اند - شامل اطلاعات مربوط به چهارده نوع سرطان مختلف است که تا کنون اغلب از ديد انتخاب ویژگی^[۱۷] بررسی شده است^[۱۶]. از جمله پژوهش‌های انجام شده در طبقه‌بندي اين پايگاه داده می‌توان به روش ارائه شده در مرجع [۱۶] اشاره کرد. در اين مقاله مسئله طبقه‌بندي چهارده دسته سرطان مختلف به چند مسئله طبقه‌بندي باينري تبدیل، و از طبقه‌بندي کتنده‌های مختلفی نيز استفاده شده است که بهترین عملکرد مربوط به طبقه‌بندي کتنده SVM بوده است. در طبقه‌بندي‌های باينري با روش‌های OVO^[۱۸] و OVA^[۱۹] عمل طبقه‌بندي انجام شده است که به ترتيب از $\frac{c(c-1)}{2}$ و c ابرصفحه برای جداسازی دسته‌ها استفاده می‌کند که c تعداد دسته‌ها است. در منابع [۱۷، ۱۸] با استفاده از روش‌های مبتنی بر شبکه عصبی چهارده نوع سرطان طبقه‌بندي شده‌اند؛ به عنوان مثال در مرجع [۱۷] از دو طبقه‌بندي کتنده ANN^[۲۰] متوالی برای طبقه‌بندي استفاده شده است. در اين روش ابتدا با استفاده از طبقه‌بندي کتنده اول، دو دسته‌ای که بيشترین احتمال تعلق داده آزمون به آن‌ها وجود دارد انتخاب شده؛ سپس با اعمال طبقه‌بندي کتنده دوم و انجام طبقه‌بندي باينري بين دو دسته انتخابي، برچسب داده آزمون تعين می‌شود.

طبقه‌بندي کتنده‌ای فازی نيز در مطالعه [۱۹] ارائه شده است (CD-MFS)^[۲۱]، که با استفاده از قوانين فازی، طبقه‌بندي را انجام می‌دهد. مرجع [۲۰] نيز از روشی مبتنی بر نمايش تنک با عنوان SR برای جداسازی دسته‌های مختلف استفاده کرده است و به نتایج بهتری در مقاييسه با تعميم‌های مختلف روش SVM دست یافته است.

با وجود تحقیقاتی که در اين زمینه شکل گرفته‌اند، همچنان دسته‌بندي اين دادگان با مقادير خطای قابل توجهی همراه است و به صورت باليني قابل استفاده نیست.

در اين مقاله با ترکیب دو روش خوش‌بندي و طبقه‌بندي مبتنی بر نمايش تنک، روش طبقه‌بندي سلسله مراتبي ارائه شده است. بدین منظور در مرحله آموزش، داده‌های آموزشی خوش‌بندي شده؛ سپس آزمایش سیستم در دو مرحله انجام می‌شود. در مرحله اول خوش‌های مربوط به داده ورودی مشخص

^[۱۷]Compressive Sensing

^[۲۱]Cancer Diagnosis with Memetic Fuzzy System

^[۱۸]One-Versus-One

^[۱۹]One-Versus-All

^[۲۲]Under-Determined

^[۲۰]Artificial Neural Networks

می‌شوند. در این روش در هر مرحله یک اتم از دیکشنری که بیشترین شباهت را به داده آزمون دارد، به عنوان عضو فعال در ترکیب خطی در نظر گرفته شده؛ ضریب مربوط به آن محاسبه می‌شود. تفاضل حاصل ضرب این تقریب ۱- تنک در دیکشنری از داده آزمون را به عنوان باقی‌مانده در نظر گرفته؛ مراحل فوق تکرار می‌شوند. در هر مرحله جمع تقریب‌های ۱- تنک به دست آمده با تقریب‌های قبلی به عنوان تقریب جدید در نظر گرفته می‌شوند و این روند تا جایی ادامه می‌یابد که یا تعداد مراحل مشخصی طی شود و یا خطا از مقدار معینی کمتر شود. در روش ^{۲۷}OMP - که تعمیم‌یافته روش MP است- در هر مرحله ضرایب ستون‌های فعال از ماتریس دیکشنری به صورت مستقل از نتایج مراحل قبل انتخاب می‌شوند و از نتایج قبلی تنها در یافتن مکان مؤلفه‌های غیرصفر استفاده می‌شود. از جمله مهم‌ترین مزایای این روش‌ها می‌توان به سرعت زیاد آن‌ها اشاره کرد^[۲۳]. از جمله دیگر الگوریتم‌هایی که در محاسبه نمایش تنک استفاده می‌شوند، می‌توان به ^{۲۸}PALM و ^{۲۹}DALM اشاره کرد^[۲۴].

اگر N داده آموزشی متعلق به دسته i ام در ستون‌های ماتریس \mathbf{Y}_i به صورت $\mathbf{Y}_i = [\mathbf{y}_{i,1}, \mathbf{y}_{i,2}, \dots, \mathbf{y}_{i,N_i}] \in \mathbb{R}^{D \times N_i}$ قرار گرفته باشد؛ بر اساس نمایش تنک چنانچه $\mathbf{y} \in \mathbb{R}^D$ داده ورودی متعلق به دسته i ام باشد، می‌توان آن را بر حسب ستون‌های ماتریس \mathbf{Y}_i نمایش داد:

$$\begin{aligned} \mathbf{y} &= s_{i,1}\mathbf{y}_{i,1} + s_{i,2}\mathbf{y}_{i,2} + \dots + s_{i,N_i}\mathbf{y}_{i,N_i} \\ &= \sum_{j=1}^{N_i} s_{i,j}\mathbf{y}_{i,j} \end{aligned} \quad (3)$$

که در این رابطه s_i ها ضرایب اسکالر هستند. از این ایده در طبقه‌بندی کننده مبتنی بر نمایش تنک استفاده می‌شود.

۳-۱-۲- طبقه‌بندی مبتنی بر نمایش تنک (SRC)

طبقه‌بندی با استفاده از نمایش تنک سیگنال شامل دو مرحله است: ابتدا داده ورودی با استفاده از ماتریس دیکشنری بصورت تنک کد می‌شود؛ سپس با استفاده از این ضرایب تنک و با بازسازی داده آزمایشی، طبقه‌بندی انجام

از رابطه زیر برای به دست آوردن نمایش تنک یک بردار بر نمونه‌های آموزشی استفاده می‌شود:

$$\min \|\mathbf{s}\|_0 \quad \text{s.t.} \quad \mathbf{y} = \mathbf{Y}\mathbf{s} \quad (1)$$

\mathbf{y} سیگنال ورودی و \mathbf{s} بردار ضرایب ترکیب خطی است و $\|\mathbf{s}\|_0$ نیز تعداد مؤلفه‌های غیر صفر آن را نشان می‌دهد. \mathbf{s} را تنک گویند اگر دارای حداقل \mathbf{k} مؤلفه غیرصفر باشد.

همان‌گونه که قبلاً ذکر شد اگر ماتریس دیکشنری فراکامل^{۲۳} باشد، دستگاه معادلات فوق پاسخی یکتا و تنک خواهد داشت. چون نرم صفر محدب و مشتق‌پذیر نیست، مسئله فوق NP-Complete^{۲۴} بوده؛ حل آن منوط به جستجوی کامل است که در ابعاد زیاد غیر ممکن است. روشی رایج در حل سیستم‌های خطی با فرض تنک بودن جواب، تقریب نرم صفر با نرمی از مرتبه بالاتر است که کمینه کردن آن ساده‌تر باشد. بدین منظور برای تعیین نمایش تنک سیگنال از فرم زیر استفاده می‌شود که در آن شرط تنکی با حداقل‌سازی نرم I_1 تأمین می‌شود^[۲]:

$$\min \|\mathbf{s}\|_1 \quad \text{s.t.} \quad \mathbf{y} = \mathbf{Y}\mathbf{s} \quad (2)$$

از آنجا که نرم یک محدب است می‌توان کمینه‌سازی آن را با استفاده از روش‌های بهینه‌سازی محدب انجام داد؛ همچنین می‌توان آن را به صورت مسئله خطی بیان کرد و با استفاده از روش‌های برنامه‌نویسی خطی مثل الگوریتم جستجوی پایه (BP)^{۲۵} آن را حل کرد^[۲۱]. از مهم‌ترین معایب این روش پیچیدگی زیاد محاسباتی و در نتیجه زمان بر بودن اجرای آن است؛ بنابراین غالب با روش‌های دیگر جایگزین می‌شود.

یکی دیگر از روش‌های رایج در به دست آوردن نمایش تنک، مناسب‌ترین ارتباط یا MP^{۲۶} نام دارد^[۲۲]. این روش به صورت تکراری و حریصانه عمل می‌کند، به این صورت که در هر گام تنها یکی از ضرایب تنک را مشخص می‌کند. اگر \mathbf{s} برداری \mathbf{k} - تنک باشد، \mathbf{y} می‌تواند به صورت یک ترکیب خطی از \mathbf{k} اتم دیکشنری نوشته شود. در این روش ابتدا ستون‌های مورد استفاده از ماتریس دیکشنری در ترکیب خطی آشکار شده؛ سپس ضرایب این ستون‌ها - که همان مقادیر غیرصفر بردار \mathbf{s} هستند- با حل مسئله حداقل مربعات محاسبه

²³Over-Complete

²⁷Orthogonal Matching Pursuit

²⁴Non-Polynomial Time

²⁸Primal Augmented Lagrangian

²⁵Basis Pursuit

Methods

²⁶Matching Pursuit

²⁹Dual Augmented Lagrangian Methods

۴-۲-۲- خوشبندی زیرفضای تنک (SSC)

فرض کنید $\{y_j \in \mathbf{R}^D\}_{j=1}^N$ مجموعه داده‌های موجود روی زیرفضای مستقل خطی $\{S_i\}_{i=1}^n$ با بعد $\{d_i \ll D\}_{i=1}^n$ باشد و N_i مجموعه $\mathbf{Y}_i \in \mathbf{R}^{D \times N_i}$ داده متعلق به زیرفضای i باشد؛ از آنجا که نمی‌دانیم کدام داده‌ها به کدام زیرفضا تعلق دارد، ماتریس داده را بصورت:

$$\mathbf{Y} = [\mathbf{y}_1, \mathbf{y}_2, \dots, \mathbf{y}_N] = [\mathbf{Y}_1, \mathbf{Y}_2, \dots, \mathbf{Y}_n] \in \mathbf{R}^{D \times N} \quad (7)$$

تشکیل می‌دهیم که $N = \sum_{i=1}^n N_i$ تعداد کل داده‌های است. اگر y_i داده‌ای از زیرفضای i باشد، می‌تواند به صورت ترکیبی خطی از d_i نقطه از این زیرفضا نوشته شود. به عبارتی y_i نمایشی d_i -تنک خواهد داشت که به صورت پاسخ تنک معادله (۲) قابل بازیابی است و در آن برای $i \neq 0$ ، $s_i \neq 0$ ، $j \neq i$ و $s_j = 0$ خواهد بود.

حال برای تعیین خوشبندی داده‌ها به کمک نمایش‌های تنک بدست آمده، از روش خوشبندی طیفی استفاده می‌شود. در این روش با استفاده از اطلاعات محلی حول هر داده، شباهت‌هایی بین جفت داده‌ها تعريف می‌شود. سپس عمل خوشبندی با استفاده از ماتریس شباهت^{۳۰} داده‌ها و تقسیم داده‌ها به چندین گروه به گونه‌ای که داده‌های هر گروه با هم مشابه و داده‌های گروه‌های مختلف با یکدیگر متفاوت باشند، انجام می‌شود.^[۱۰]

اگر $\mathbf{Y}_i \in \mathbf{R}^{D \times N-1}$ ماتریسی باشد که از حذف ستون i آن \mathbf{Y} به دست آید، y نمایشی تنک بر آن خواهد داشت که می‌تواند از رابطه زیر محاسبه شود:

$$\min \|c_i\|_1 \quad s.t. \quad y_i = \mathbf{Y}_i c_i \quad (8)$$

پاسخ بهینه $c_i \in \mathbf{R}^{N-1}$ برداری است که مؤلفه‌های غیرصفر آن متضایر با ستون‌هایی از \mathbf{Y}_i هستند که در همان زیرفضای y_i قرار دارند. پس از حل معادله فوق برای تمام نقاط می‌آید که در آن \hat{c}_i با صفر قرار دادن در سطر i به دست آمده است. با استفاده از این ماتریس، گراف (V, E) به گونه‌ای تعريف می‌شود که گوشه‌های V در آن متضایر با N نقطه داده باشند. یال E در صورتی وجود خواهد

می‌شود.^[۱۲]

از آنجا که ابتدا برچسب داده آزمون برای سیستم مجھول است، ماتریس \mathbf{Y} به صورت ترکیبی از داده‌های آموزشی از تمام c دسته در نظر گرفته می‌شود:

$$\mathbf{Y} = [\mathbf{Y}_1, \dots, \mathbf{Y}_c] = [\mathbf{y}_{1,1}, \mathbf{y}_{1,2}, \dots, \mathbf{y}_{c,N_c}] \quad (4)$$

در این رابطه هر کدام از \mathbf{Y}_i ها زیر ماتریس‌هایی هستند که داده‌های دسته i را در خود جای داده‌اند. حال می‌توان با استفاده از رابطه (۲) نمایش تنک داده ورودی y را بر حسب ستون‌های ماتریس دیکشنری \mathbf{Y} بدست آورد.

در SRC از میزان شباهت داده ورودی به داده‌های موجود در هر یک از دسته‌ها برای طبقه‌بندی استفاده می‌شود. بدین منظور تابع $\delta_i : \mathbf{R}^N \rightarrow \mathbf{R}^N$ بصورت زیر تعريف می‌شود و با اعمال آن بر بردار s_i مؤلفه بردار N متناظر با داده‌های دسته i در دیکشنری حفظ شده؛ سایر مؤلفه‌ها صفر می‌شوند.

$$\delta_i(s) = [0, \dots, 0, s_{i,1}, \dots, s_{i,N_i}, 0, \dots, 0]^T \in \mathbf{R}^N \quad (5)$$

بنابراین $(s) = \mathbf{Y}\delta_i(s) = \hat{\mathbf{y}}$ داده y را تنها به صورت ترکیب خطی از داده‌های دسته i بیان می‌کند. با اعمال این تابع بر نمایش تنک داده y و بازسازی آن با استفاده از داده‌های متعلق به هر یک از دسته‌ها در هر مرحله، در نهایت داده ورودی به دسته‌ای نسبت داده می‌شود که میزان باقی‌مانده زیر را حداقل کند:

$$\min_i r_i(y) = \|y - \mathbf{Y}\delta_i(\hat{s})\|_2 \quad (6)$$

الگوریتم زیر به طور خلاصه این روش طبقه‌بندی را بیان می‌کند:

ورودی: ماتریس دیکشنری برای c طبقه مختلف $\mathbf{Y} = [\mathbf{Y}_1, \dots, \mathbf{Y}_c] = [\mathbf{y}_{1,1}, \mathbf{y}_{1,2}, \dots, \mathbf{y}_{c,N_c}]$ ، داده ورودی \mathbf{l}_2 (الف) بهنجار کردن ستون‌های ماتریس دیکشنری \mathbf{Y} تا نرم ۲ واحد داشته باشند.

ب) حل مسئله حداقل‌سازی نرم \mathbf{l}_1 زیر:

$$\min \|s\|_1 \quad s.t. \quad \mathbf{y} = \mathbf{Y}s$$

ج) محاسبه باقیمانده $r_i(y) = \|y - \mathbf{Y}\delta_i(\hat{s})\|_2$ برای تمام طبقه‌ها $i = 1, \dots, c$

خروجی: برچسب داده \mathbf{y} $= \arg \min_i r_i(y)$:

^{۳۰}Similarity Matrix

داده‌های آموزشی، به جای بازسازی سیگنال روی تمام دسته‌ها، این عمل تنها روی شبیه‌ترین داده‌های آموزشی به داده ورودی انجام شود که این داده‌ها با انجام خوشبندی مشخص می‌شوند.

در این روش، داده‌های آموزشی در مرحله آموزش با استفاده از الگوریتم SSC خوشبندی می‌شوند. بدین منظور ابتدا با استفاده از رابطه (۸) نمایش تنک هر یک از داده‌های آموزشی روی سایر داده‌های آموزشی به دست می‌آید. پس از تعیین ماتریس مجاورت گراف به صورت رابطه (۹) و ماتریس لاپلاسین، به صورتی که در بخش ۲-۲ توضیح داده شد خوشبها مشخص می‌شوند.

در مرحله آزمایش با ورود هر داده آزمون به سیستم، ابتدا نمایش تنک آن بر داده‌های آموزشی با استفاده از رابطه (۲) به دست می‌آید. سپس در مرحله بازسازی، در هر گام ضرایب نمایش تنک متناظر با یک خوش نگه داشته شده؛ مابقی ضرایب نمایش تنک برابر با صفر قرار داده می‌شوند. با یافتن حداقل خطای بازسازی، خوشبها که داده به آن تعلق دارد شناسایی می‌شود.

در مرحله بعد برای تعیین برچسب داده مورد نظر، با استفاده مجدد از SRC ، نمایش تنک داده تنها بر حسب داده‌های خوش مربوط به آن که در مرحله قبل تعیین شده است، پیدا می‌شود. بنابراین تصمیم‌گیری نهایی در محدوده‌ای کوچکتر و تنها روی داده‌های یک خوش انجام می‌گیرد. در شکل (۱) مراحل انجام طبقه‌بندی در روش پیشنهادی به طور خلاصه نشان داده شده است.

۶- نتایج

در این بخش ابتدا پایگاه داده استفاده شده بررسی شده؛ سپس نتایج شبیه‌سازی و تحلیل آنها ارائه می‌شود.

داشت که داده \mathbf{y} در نمایش تنک \mathbf{z} حاضر باشد. از آنجا که اگر \mathbf{y} بتواند بصورت ترکیب خطی از تعدادی نقاط یک زیرفضا شامل \mathbf{y} نوشته شود، آنگاه \mathbf{y} نیز می‌تواند بصورت ترکیب خطی از نقاط همان زیرفضا شامل \mathbf{y} نوشته شود؛ لذا $\tilde{\mathbf{C}} = |\mathbf{C}| + |\mathbf{C}^T|$ ^{۳۱} گراف فوق بصورت $\tilde{\mathbf{C}}$ خواهد بود^[۳].

پس از تشکیل گراف G انتظار می‌رود تمام گوشه‌هایی که مربوط به داده‌های یک زیرفضا هستند مجموعه‌ای متصل به یکدیگر را در گراف تشکیل دهنند، در حالی که گوشه‌های نمایش‌دهنده داده‌های متعلق به زیرفضاهای متفاوت هیچ یال مشترکی نداشته باشند. لذا $\tilde{\mathbf{C}}$ نمایشی قطری بلوکی به شکل زیر پیدا می‌کند:

$$\tilde{\mathbf{C}} = \begin{bmatrix} \tilde{\mathbf{C}}_1 & 0 & \cdots & 0 \\ 0 & \tilde{\mathbf{C}}_2 & \cdots & 0 \\ \vdots & & & \\ 0 & 0 & \cdots & \tilde{\mathbf{C}}_n \end{bmatrix} \quad (9)$$

سپس ماتریس لاپلاسین گراف شباهت به صورت $\mathbf{L} = \mathbf{D} - \tilde{\mathbf{C}}$ تشکیل می‌شود که $\mathbf{D} \in \mathbf{R}^{N \times N}$ ماتریسی قطری است که بصورت $\mathbf{D}_{ii} = \sum_j \tilde{c}_{ij}$ محاسبه می‌شود.

تعداد مقادیر ویژه صفر ماتریس لاپلاسین متناظر با گراف G برابر با تعداد مؤلفه‌های متصل گراف است. در حالت ایده‌آل، داده‌های متعلق به n زیرفضای مستقل خطی دارای n مؤلفه متصل در گراف شباهت خواهند بود. بنابراین، وقتی تعداد زیرفضاهای معلوم نباشد می‌توان آن را به صورت تعداد مقادیر ویژه صفر ماتریس \mathbf{L} تخمین زد. در نهایت با اعمال الگوریتم K-means به n بردار ویژه متناظر با n مقدار ویژه کوچکتر ماتریس لاپلاسین، خوشبندی داده‌ها بدست می‌آید^[۴].

۵- روش پیشنهادی

در ادامه با ترکیب دو روش خوشبندی و طبقه‌بندی مبتنی بر نمایش تنک، روش طبقه‌بندی سلسه مراتبی^{۳۲} پیشنهاد شده است. ایده اصلی این روش، خوشبندی داده‌ها و سپس انجام طبقه‌بندی در هر یک از خوشبها می‌باشد. بدین صورت که پس از بدلت آوردن نمایش تنک داده ورودی بر

^{۳۱}Adjacency Matrix

^{۳۲}Hierarchical Classification

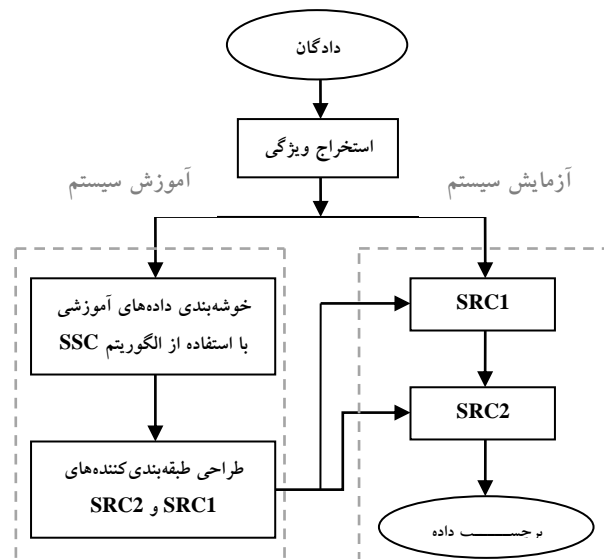
کمترین خطای به دست آمده در این روش‌ها حدود ۲۴ درصد است^[۲۰]. در ادامه نتایج حاصل از اعمال روش پیشنهادی به این پایگاه داده ارائه شده است.

جدول (۱)- مشخصات دادگان مورد آزمایش

نوع سرطان	تعداد نمونه‌های آزمون	تعداد نمونه‌های آموزشی
سینه	۸	۴
پروستات	۸	۶
ریه	۸	۴
^{۳۹} کولورکتال	۸	۴
لتغوم	۱۶	۶
مثانه	۸	۳
^{۴۰} ملانوم	۸	۲
رحم	۸	۲
خون	۲۴	۶
کلیه	۸	۳
لوزالمعده	۸	۳
تخمدان	۸	۴
^{۴۱} مزوتیلوما	۸	۳
سیستم عصبی مرکزی	۱۶	۴

همان‌طور که در بخش ۲ نیز ذکر شد، روش‌های متعددی برای محاسبه نمایش تنک ارائه شده است که هر یک مزایا و معایبی دارند. در جدول (۲) نتایج حاصل از استفاده از تعدادی از این روش‌ها برای محاسبه نمایش تنک در الگوریتم SRC آورده شده است. چنانچه ملاحظه می‌شود دو روش OMP و BP در این میان بهترین عملکرد را دارند و کمترین میزان خطا را در طبقه‌بندی این دادگان متحمل می‌شوند؛ اما با توجه به زمان بر بودن اجرای الگوریتم BP، در این کاربرد از الگوریتم OMP استفاده کرده‌ایم و نتایجی که در ادامه اعلام می‌شوند با استفاده از این الگوریتم به دست آمده‌اند.

در مرجع [۲۵] با ترکیب دو روش KNN و SRC طبقه‌بندی انجام شده است. روش کار به این صورت است که ابتدا با اعمال طبقه‌بندی‌کننده KNN، K نزدیک‌ترین همسایه به داده آزمون از میان داده‌های آموزشی تعیین می‌شود. سپس



شکل (۱)- روندnamای روش پیشنهادی

۷-۱-۴- دادگان مورد استفاده

برای ارزیابی عملکرد روش طبقه‌بندی معرفی شده از پایگاه داده 14-Tumors استفاده شده است^[۱۶]. این مجموعه شامل ۱۹۸ نمونه حاوی ۱۶۰۶۳ ژن (ویژگی) از ۱۴ نوع سرطان است که از این میان ۱۴۴ نمونه برای آموزش سیستم و ۵۴ نمونه برای آزمایش بکار رفته‌اند. مقدار داده شده برای هر ژن در هر نمونه، میزان فعال بودن ژن در آن نمونه یا به عبارتی بیان ژن را نشان می‌دهد. مشخصات کلی این دادگان در جدول (۱) آورده شده است. همان‌گونه که از این جدول نیز ملاحظه می‌شود، تعداد نمونه در هر دسته از این داده‌ها در مقایسه با ابعاد آن‌ها بسیار کم است.

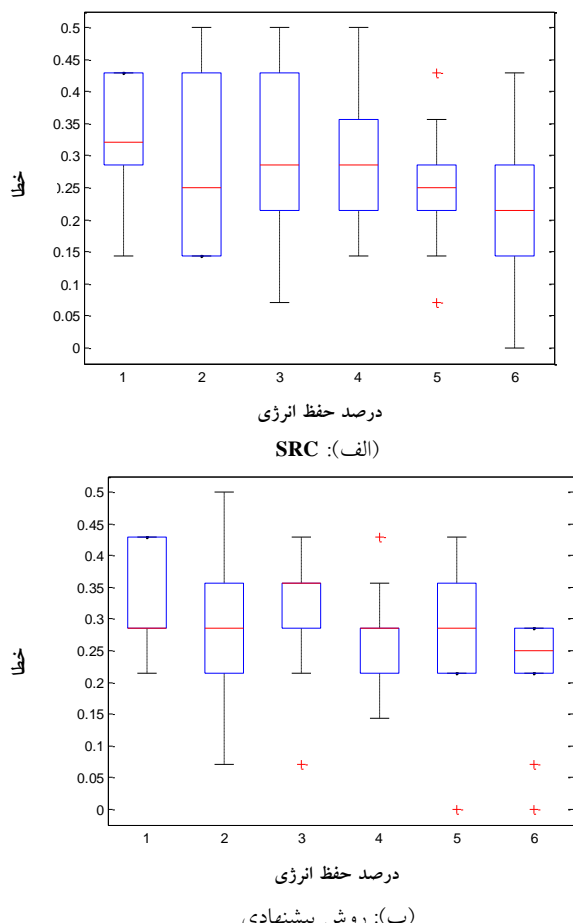
۸-۲-۴- نتایج شبیه‌سازی

از آنجا که پایگاه داده مورد استفاده در این پژوهش، از جمله پایگاه داده‌های چالش‌برانگیز در امر طبقه‌بندی است، اعمال روشن‌های مختلف طبقه‌بندی بر آن اغلب نتایج ضعیفی از خود نشان داده‌اند. تا کنون از تعمیم‌های مختلفی از روش SVM شامل OVR^{۳۳}، OVO^{۳۴}، DAG^{۳۵} و CS^{۳۶} برای طبقه‌بندی این داده‌ها استفاده شده است. در تمام این روش‌ها از کرنل‌های چندجمله‌ای و RBF^{۳۷} استفاده شده است و انتخاب پارامترهای این طبقه‌بندی‌کننده‌ها با استفاده از روش ارزیابی متقابل^{۳۸} به صورت دقیق انجام شده است. با این حال

^{۳۳}One-Versus-Rest (All)^{۳۶}all-at-once method by Crammer and Singer^{۳۹}Colorectal^{۳۴}Directed Acyclic Graph^{۳۷}Radial Basis Function^{۴۰}Melanoma^{۳۵}all-at-once method by Weston and Watkins^{۳۸}Fold Cross Validation⁴¹Mesothelioma

است. همچنین ملاحظه می‌شود کاهش بعد داده‌ها با استفاده از PCA منجر به افزایش خطای طبقه‌بندی می‌شود.

هم در روش SRC و هم در روش پیشنهادی (SSC+SRC)، نیز به منظور کاهش بعد داده‌ها از روش استخراج ویژگی PCA استفاده شده است. به منظور تعیین بعد بھینه داده‌ها، از روش ارزیابی متقابل ۱۰-قسمتی برای داده‌های آموزشی استفاده شده است. به این ترتیب که ابتدا داده‌های آموزشی به ۱۰ قسمت مساوی تقسیم شده‌اند؛ سپس در هر مرحله یکی از قسمت‌ها به عنوان داده آزمون و ۹ قسمت باقی‌مانده به عنوان داده آموزشی برای سیستم در نظر گرفته شده‌اند. سپس عمل طبقه‌بندی به ازای شش مقدار مختلف بعد داده ورودی که به ترتیب ۹۶، ۹۷، ۹۸، ۹۹/۵، ۹۹ و ۹۹/۹ درصد انرژی داده‌های ورودی را حفظ کنند، در هر مرحله تکرار شده است. نتایج حاصل از این آزمایش‌ها در شکل (۴) نشان داده شده است.

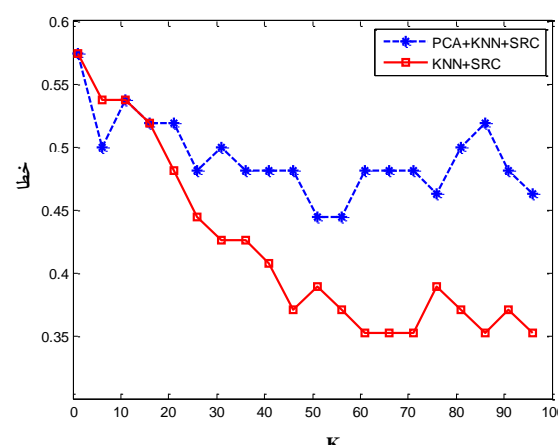


شکل (۴)- میانه و انحراف معیار خطاهای بدست آمده در روش ارزیابی متقابل برای SRC (الف) و روشن پیشنهادی (ب)

با استفاده از SRC نمایش تنک داده آزمون تنها روی این K داده آموزشی محاسبه شده؛ طبقه‌بندی نهایی انجام می‌شود. از آنجا که ایده اصلی این روش مشابه روش پیشنهادی ما است، لذا نتایج حاصل از اعمال این روش بر دادگان مورد بررسی را نیز به منظور مقایسه با نتایج روش معرفی شده بررسی کردایم. نتایج حاصل از این بررسی در شکل (۳) ارائه شده است.

جدول (۲)- درصد خطای طبقه‌بندی با روش SRC و با استفاده از روشن‌های مختلف محاسبه نمایش تنک

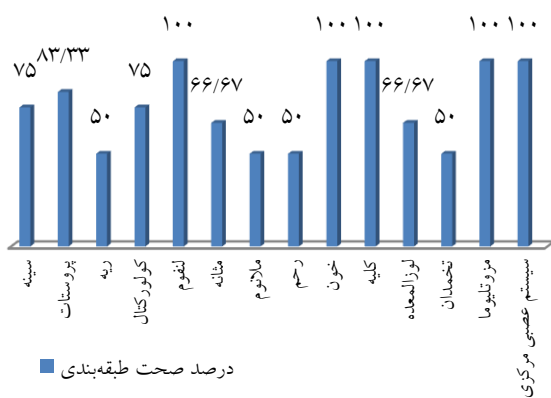
PALM	DALM	Homotopy	OMP	BP	الگوریتم محاسبه پاسخ تنک
۲۵/۹۳	۳۳/۳۳	۳۳/۳۳	۲۴/۰۷	۲۴/۰۷	درصد خطای طبقه‌بندی SRC با



شکل (۳)- خطای طبقه‌بندی در روش SRC

در این شکل مقدار خطای حاصل از طبقه‌بندی با روش KNN+SRC به ازای مقادیر مختلف K و در دو حالت بدون PCA استخراج ویژگی و استفاده از روش استخراج ویژگی PCA آورده شده است. همان‌طور که در این شکل ملاحظه می‌شود، کمترین مقادیر خطا در حالت استفاده از تمام ویژگی‌ها و به ازای مقادیر بزرگ K بدست آمده که در حدود ۳۵ درصد

تعداد خوشها	خطای طبقه‌بندی(%)
۲	۲۴/۰۷
۳	۲۲/۲۲
۴	۲۲/۲۲
۵	۲۰/۳۷
۶	۲۰/۳۷
۷	۲۲/۲۲
۸	۲۴/۰۷
۹	۲۲/۲۲
۱۰	۲۲/۲۲
۱۱	۲۰/۳۷
۱۲	۲۰/۳۷
۱۳	۲۷/۷۸



شکل (۵)- صحت طبقه‌بندی روش پیشنهادی به تفکیک دسته‌ها

در جدول (۴) نتایج حاصل از اعمال طبقه‌بندی‌کننده‌های مختلف به پایگاه داده موردنظر آورده شده‌اند. نتایج تعمیم‌های مختلف روش SVM و همچنین روش SR از مرجع [۲۰] آورده شده‌اند. در هر یک از این روش‌ها، بهترین نتایج اعلام شده، گزارش شده است.

با توجه به نتایج ذکر شده می‌توان دید که روش طبقه‌بندی SRC خود به تنها یک در مقایسه با روش‌های پیشین از عملکرد بهتری برخوردار است. همچنین عدم نیاز به انتخاب مدل و یا پارامترهای اولیه در مرحله آموزش را می‌توان از جمله مزایای دیگر این طبقه‌بندی‌کننده برشمرد.

در این شکل‌ها مقدار میانه و چارک‌های اول و سوم برای ده مقدار خطای بدست آمده در هر بعد، نشان داده شده است. همان‌طور که در شکل‌های بالا دیده می‌شود در هر دو روش، کمترین میزان میانه در حالت ششم و به ازای حفظ ۹۹/۹ درصد انرژی بدست آمده است. در بخش (ب) شکل (۴) حداقل تغییرات خطای نیز در این بعد بدست آمده است، ولی در قسمت (الف) این شکل در حالت پنجم کمترین تغییرات خطای رخ داده است. در مقایسه بین دو حالت پنجم و ششم برای روش SRC، از آنجایی که مقدار چارک سوم در این دو حالت برابر و میزان میانه در حالت ششم کمتر است، بعد معادل با حالت ششم را انتخاب کرده‌ایم. بنابراین بعد بهینه بمنظور اعمال الگوریتم PCA در مرحله آزمایش سیستم برای هر دو روش SRC و SSC+SRC در ازای حفظ ۹۹/۹ درصد انرژی - که برابر با ۱۳۰ است - در نظر گرفته شده است.

نتایج طبقه‌بندی با استفاده از روش پیشنهادی به ازای داده ورودی با بعد ۱۳۰ و تعداد خوشهاهای متفاوت در جدول (۳) خلاصه شده است. هر چند در روش خوشهاهی SSC نیازی به دانستن تعداد خوشها نیست، در عمل به علت وجود نویز ممکن است بین داده‌های خوشهاهای مختلف نیز یال‌هایی وجود داشته باشد که تعیین تعداد خوشها را با مشکل مواجه کند؛ لذا آزمایش‌ها به ازای مقادیر مختلف تعداد زیرفضاهای تکرار شده‌اند و نتایج اعلام شده است. بر اساس نتایج بدست آمده در این بررسی، در ادامه آزمایش‌ها تعداد خوشها برابر با پنج در نظر گرفته شده است.

نتایج حاصل از روش طبقه‌بندی ارائه شده به تفکیک هر یک از دسته‌ها نیز در شکل (۵) آورده شده است. همان‌طور که ملاحظه می‌شود پنج نوع سرطان لنفوم، خون، کلیه، مزوتیلوما و سیستم عصبی مرکزی به صورت کاملاً صحیح و با صحت ۱۰۰ درصد طبقه‌بندی شده‌اند و کمترین میزان صحت طبقه‌بندی مربوط به سرطان‌های ریه، ملانوم، رحم و تخم‌دان و به میزان ۵۰ درصد است.

جدول (۳)- خطای طبقه‌بندی روش SRC+SSC به ازای تعداد خوشهاهای مختلف

از آنجایی که یکی از روش‌های متدالو و مفید در دسته‌بندی دادگان با ابعاد زیاد و از جمله دادگان مورد بررسی، خوشبندی است، لذا روش معروفی شده - که در مرحله اول خوش‌هه مربوط به داده آزمون را تعیین کرده؛ سپس در این خوش‌هه عمل طبقه‌بندی را انجام می‌دهد- توانسته به عملکرد قابل قبولی دست یابد. بدین ترتیب، در این روش تنها نمونه‌هایی از مجموعه آموزشی وارد فرایند طبقه‌بندی نهایی می‌شوند که بیشترین شباهت را به داده آزمون داشته باشند.

بنابراین احتمال این که نمونه‌های نامربوط در نمایش تنک مربوط به داده آزمون نقش مؤثری را ایفا کنند، به شدت کاهش می‌یابد که این امر افزایش صحت طبقه‌بندی کننده پیشنهادی را در مقایسه با روش SRC به دنبال داشته است.

اغلب روش‌های طبقه‌بندی اعمال شده به این پایگاه داده، از تمام ۱۶۰۶۳ ویژگی برای طبقه‌بندی استفاده کرده‌اند، اما نتایج حاصل از اعمال دو طبقه‌بندی کننده SRC و SSC+SRC عملکرد خوبی را در ابعاد داده بسیار کمتر از بعد اولیه ویژگی‌ها نشان می‌دهند. در این روش‌ها ضمن حفظ تمام ویژگی‌ها، با انتقال آنها به فضایی با بعد کمتر علاوه بر کاهش بار محاسباتی به نتایج بهتری دست یافته‌ایم.

همچنین از آنجایی که روش ارائه شده روشنی غیرپارامتریک است و نیازی به انتخاب مدل و تعیین پارامترهای اولیه ندارد، از این منظر نیز عملکرد آن در مقایسه با روش‌های مبتنی بر SVM قابل توجه است.

بدیهی است به منظور دست یابی به نتایج بهتر در تفکیک انواع سرطان‌ها، علاوه بر بهبود روش‌های پردازش سیگنال به استفاده بیشتر از اطلاعات بالینی مربوط به ژن‌ها و دانش زیست‌شناسی نیز نیاز است. امید است در آینده‌ای نزدیک با انجام مطالعات گستره‌تر در این زمینه، به نتایج قابل قبولی بمنظور استفاده در تشخیص‌های بالینی دست یابیم.

مراجع

- [1] Donoho D., Compressed sensing; IEEE Trans. Information Theory, 2006; 52(4): 1289–1306.
- [2] Donoho D., For Most Large Underdetermined Systems of Linear Equations the Minimal ℓ_1 -Norm

نتایج بدست آمده همچنین حاکی از عملکرد قابل قبول روش پیشنهادی است که منجر به کمترین مقدار خطای طبقه‌بندی در مقایسه با سایر روش‌ها شده است. اگرچه هر دو روش KNN+SRC و SSC+SRC با رویکردی یکسان نسبت به طبقه‌بندی این دادگان اقدام می‌کنند، اختلاف قابل توجهی در نتایج حاصل از آن‌ها مشاهده می‌شود که نشان‌دهنده قابلیت روش معروفی شده است. همچنین باید به این نکته نیز اشاره کرد که نتیجه روش KNN+SRC با استفاده از تمام ویژگی‌ها و به ازای مقادیر بزرگ K بدست آمده است که بار محاسباتی زیادی را به سیستم تحمیل کرده؛ زمان اجرای الگوریتم نیز طولانی می‌شود.

جدول (۴)- مقایسه نتایج حاصل از طبقه‌بندی کننده‌های مختلف

روش طبقه‌بندی	خطای طبقه‌بندی (%)
SVM (OVR)	۲۴/۷۱
SVM (OVO)	۵۳/۶۱
SVM (DAG)	۵۴/۹۰
SVM (WW)	۳۴/۱۶
SVM (CS)	۲۴/۶۲
SR	۲۵/۹۶
KNN+SRC	۳۵
SRC	۲۴/۰۷
SSC+SRC	۲۰/۳۷

۵- جمع‌بندی و نتیجه‌گیری

در این مقاله روش طبقه‌بندی سلسه مراتبی با ترکیب دو روش خوشبندی زیرفضای تنک و طبقه‌بندی مبتنی بر نمایش تنک ارائه شد. نتایج آزمایش برای داده‌های 14-Tumors حاکی از این است که روش پیشنهادی در مقایسه با روش‌های طبقه‌بندی دیگر به صحت طبقه‌بندی بیشتری دست یافته است. بر اساس نتایج بدست آمده در جدول (۴)، نه تنها استفاده از روش SRC خطای طبقه‌بندی کمتری را در مقایسه با روش‌های پیشین در پی داشته است، بلکه ترکیب آن با روش SSC منجر به بهبود قابل توجهی در صحت طبقه‌بندی داده‌ها شده است.

- [15] Guyon I., Weston J., Barnhill S., Gene Selection for Cancer Classification using Support Vector Machines; *Machine Learning*, 2002; 46: 389–422.
- [16] Ramaswamy S., Tamayo P., Rifkin R., Multiclass cancer diagnosis using tumor gene expression signatures; *Proc. National Academy of Sciences of the United States of America*, 2001; 98(26): 15149–15154.
- [17] Linder R., Dew D., Sudhoff H., Theegarten D., Remberger K., Poppel S. J., Wagner M., The subsequent artificial neural network (SANN) approach might bring more classificatory power to ANN based DNA microarray analyses; *Bioinformatics*, 2004; 20(18): 3544–3552.
- [18] Zhang R., Huang G. B., Sundararajan N., Saratchandran P., Multi-category classification using an extreme learning machine for microarray gene expression cancer diagnosis; *IEEE/ACM Trans. on Computational Biology and Bioinformatics*, 2007; 4(3): 485–495.
- [19] Shabgahi A. Z., Abadeh M. S., A fuzzy classification system based on memetic algorithm for cancer disease diagnosis; in *Proc. 18th IEEE Iranian Conference of Biomedical Engineering (ICBME)*, 2011.
- [20] Hang X., Wu F., Sparse Representation for Classification of Tumors Using Gene Expression Data; *Journal of Biomedicine and Biotechnology*, 2009.
- [21] Chen S., Donoho D., Saunders M. A., Atomic decomposition by basis pursuit; *SIAM journal on scientific computing*, 1998; 20: 33–61.
- [22] Mallat S. G., Zhifeng Z., Matching pursuit with time-frequency dictionaries; *IEEE Trans. On Signal Processing*, 1993; 41: 3397–3415.
- [23] Pati Y. C., Rezaifar R., Krishnaprasad P. S., orthogonal matching pursuit: recursive function approximation with applications to wavelet decomposition; 1993; rec. 27 Asilomar cnf. Signals, syst. Comput, 41-44.
- [24] Yang A. Y., Zhou Z., Ganesh A., Sastry, S. S., Ma Y., Fast ℓ_1 -Minimization Algorithms For Robust Face Recognition; *IEEE Transactions on Image Processing*, 2013; 99:1-1- 0.
- [25] Nan Z., Jian Y., K nearest neighbor based local sparse representation classifier; *CCPR*, IEEE, 2010; 1–5.
- Solution Is Also the Sparsest Solution; *Comm. Pure and Applied Math.*, 2006; 59(6): 797–829.
- [3] Elhamifar E., Vidal R., Sparse subspace clustering: Algorithm, theory, and applications; to appear in *IEEE Trans. on Pattern Analysis and Machine Intelligence*, 2012; arXiv preprint arXiv: 1203.1005.
- [4] Elhamifar E., Vidal R., Sparse subspace clustering; *Proc. Int. Conf. on Computer Vision and Pattern Recognition*, 2009; 2790–2797.
- [5] Liu G., Lin Z., Yu Y., Robust subspace segmentation by low-rank representation; *Proc. Int. Conf. on International Conference on Machine Learning*, 2010.
- [6] Ho J., Yang M.H., Lim J., Lee K.C., Kriegman D., Clustering appearances of objects under varying illumination conditions; *Proc. Int. Conf. on Computer Vision and Pattern Recognition*, 2003.
- [7] Vidal R., Ma Y., Sastry S., Generalized principal component analysis (gpca); *IEEE Trans. on Pattern Analysis and Machine Intelligence*, 2005; 27(12): 1945–1959.
- [8] Tipping M.E., Bishop C.M., Mixtures of probabilistic principal component analyzers; *Neural Computation*, 1999; 11(2): 443–482.
- [9] Fischler M.A., Bolles R.C., Random sample consensus: a paradigm for model fitting with applications to image analysis and automated cartography; *Communications of the ACM*, 1981; 24(6): 381–395.
- [10] Von Luxburg U., A tutorial on spectral clustering; *Statistics and Computing*, 2007; 17.
- [11] Saha B., Pham D., Phung D., Venkatesh S., Sparse Subspace Clustering via Group Sparse Coding; 2013.
- [12] Wright J., Yang A.Y., Ganesh A., Sastry S.S., Ma Y., Robust face recognition via sparse representation; *IEEE Trans. on Pattern Analysis and Machine Intelligence*, 2009; 31(2): 210–227.
- [13] Sahu S., Panda G., Barik R., A Hybrid Method of Feature Extraction for Tumor Classification Using Microarray Gene Expression Data; *International Journal of Computer Science & Informatics*, 2011;1(1).
- [14] Sharma A., Paliwal K., Cancer classification by gradient LDA technique using microarray gene expression data; *Data & Knowledge Engineering*, 2008; 66: 338–347.